

用 ChebyShev 时间积分法求解 TDSE

1 算法原理

二维空间中，单粒子的薛定谔方程为

$$i\hbar \frac{\partial}{\partial t} \psi = -\frac{\hbar^2}{2m} \nabla^2 \psi + V(x, y) \psi \quad (1)$$

调整量纲使得 $\hbar = 1$ 。基于最基本的五点差分法，我们可以将其离散化为

$$\psi_{i,j}^{n+1} - \psi_{i,j}^n = \frac{i\tau}{2mh^2} \left(\sum_{a,b} \psi_{a,b}^n - 4\psi_{i,j}^n \right) - i\tau V_{i,j} \psi_{i,j}^n \quad (2)$$

其中求和号表示对 $\psi_{i,j}$ 的最近邻求和。很明显它不保持

$$\int \rho(x, y) dx dy \rightarrow \hbar^2 \sum_{i,j} \psi_{i,j}^* \psi_{i,j} \quad (3)$$

不变，这意味着总粒子数改变了，不符合物理要求。为此，我们可以改用演化方程的形式解出薛定谔方程

$$\psi(\mathbf{r}, t) = e^{-iHt} \psi(\mathbf{r}, 0) \quad (4)$$

记 $c_{i,j} \psi_{i',j'} = \delta_{i,i'} \delta_{j,j'} c_{i,j}^\dagger |0\rangle = |\psi_{i,j}\rangle$ ，上式中

$$H_{i,j}^{i',j'} = \frac{-1}{2mh^2} (c_{i-1,j}^\dagger c_{i',j'} + c_{i+1,j}^\dagger c_{i',j'} + c_{i,j-1}^\dagger c_{i',j'} + c_{i,j+1}^\dagger c_{i',j'} - 4c_{i,j}^\dagger c_{i',j'}) + V_{i,j} c_{i,j}^\dagger c_{i',j'} \quad (5)$$

由于 e^{-iHt} 是么正算符，保持总概率不变，故我们只要找到合适的办法计算矩阵指数来逼近它，就能得到一个保酉的算法。计算矩阵指数的方法有 Trotter-Suzuki 法和 Chebyshev 时间积分法等，这里选择后者。

Chebyshev 时间积分的思想是，找到一个合适的多项式逼近指数函数。我们知道， $e^{\beta t}$ 可以展成泰勒级数

$$e^{\beta t} = \sum_{n=0}^{\infty} \frac{\beta^n}{n!} t^n \quad (6)$$

它是收敛的，但我们在实际编程中必须把它截断；不幸的是，它的收敛速度很慢，而且只在 $t = 0$ 附近精确度较高， $n!$ 增长得太快，不利于计算。因此，我们要找到另一个收敛较快的级数。这里，如果限制 $|t| < M$ ，就可以使用最佳平方逼近的办法。

选用切比雪夫多项式 T_n 作为正交基，定义内积为

$$\langle f, g \rangle = \int_{-1}^1 f^*(x) g(x) \frac{1}{\sqrt{1-x^2}} dx \quad (7)$$

在 $t \in [-1, 1]$ 上平方逼近:

$$\min L = \left| e^{\beta t} - \sum_n c_n T_n(t) \right|^2 \quad (8)$$

故对每一个系数, 有

$$\frac{\partial L}{\partial c_m} = -2 \left\langle e^{\beta t} - \sum_n c_n T_n(t), T_m(t) \right\rangle = 0 \quad (9)$$

得

$$\left\langle e^{\beta t} - \sum_n c_n T_n(t), T_m(t) \right\rangle = \langle e^{\beta t}, T_m(t) \rangle - \sum_n c_n \langle T_n(t), T_m(t) \rangle = 0 \quad (10)$$

由切比雪夫多项式的正交性,

$$\langle T_m, T_n \rangle = \begin{cases} 0, & m \neq n \\ \frac{\pi}{2}, & m = n \neq 0 \\ \pi, & m = n = 0 \end{cases} \quad (11)$$

得

$$\begin{aligned} c_0 &= \frac{1}{\pi} \langle e^{\beta t}, T_0(t) \rangle \\ c_m &= \frac{2}{\pi} \langle e^{\beta t}, T_m(t) \rangle \quad (m \neq 0) \end{aligned} \quad (12)$$

计算积分:

$$\int_{-1}^1 e^{\beta t} T_m(t) \frac{1}{\sqrt{1-t^2}} dt \stackrel{t=\cos \theta}{=} \int_0^\pi e^{\beta \cos \theta} T_m(\cos \theta) d\theta = \int_0^\pi e^{\beta \cos \theta} \cos(m\theta) d\theta \quad (13)$$

虚宗量贝塞尔函数的积分定义恰好有

$$\alpha I_n(\beta) = \frac{1}{\pi} \int_0^\pi \cos(nx) e^{\beta \cos x} dx \quad (14)$$

故

$$c_0 = I_0(\beta), \quad c_m = 2I_m(\beta) \quad (m \neq 0) \quad (15)$$

因此, $e^{\beta t}$ 在 $[-1, 1]$ 上的最佳平方逼近为

$$e^{\beta t} = I_0(\beta) T_0(t) + 2 \sum_{n=1}^{\infty} I_n(\beta) T_n(t) \quad (16)$$

其收敛区域为整个复平面。由 T_n 的递推式可知, 在相同的截断次数下, 最佳平方逼近所需乘法次数与泰勒展开相等。如图, 此时最佳平方逼近的近似效果更好

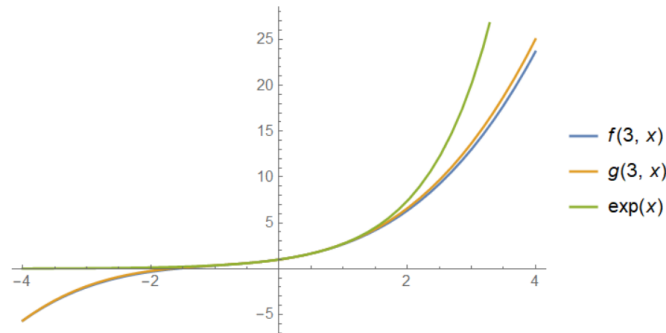


图 1: f 为泰勒级数, g 为最佳平方逼近

将这个结论推广到矩阵 (厄米算符) 的切比雪夫多项式, 有

$$e^{-iHt} = I_0(-it) T_0(H) + 2 \sum_{n=1}^{\infty} I_n(-it) T_n(H) \quad (17)$$

由整数阶虚宗量贝塞尔函数的奇偶性 $I_n(-x) = (-1)^n I_n(x)$ ，以及 $I_n(x) = (-i)^n J_n(ix)$ ，得

$$e^{-iHt} = J_0(-it)T_0(H) + 2 \sum_{n=1}^{\infty} (-i)^n J_n(t)T_n(H) \quad (18)$$

由此得离散化后的迭代公式为

$$\psi^{n+1} = J_0(\tau)T_0(H)\psi^n + 2 \sum_{n=1}^{\infty} (-i)^n J_n(\tau)T_n(H)\psi^n \quad (19)$$

其中矩阵乘法 $H\psi = \sum_{i',j'} H_{i,j}^{i',j'} \psi_{i',j'}$ 按 (5) 式计算。

由 $-1 \leq \cos(\theta) \leq 1$ 知， $T_n(x)$ 将 $[-1, 1]$ 映射到它自身，因此当 $t \in [-1, 1]$ 时， $|I_n(\beta)T_n(t)|$ （或 $|J_n(\beta)T_n(t)|$ ）的收敛速度将快于指数。考虑将这个结论推广到矩阵。由于 H 是厄米算符，设 Λ 为实对角矩阵， $H = U^\dagger \Lambda U$ ，则

$$T_n(H) = U^\dagger T_n(\Lambda)U \quad (20)$$

其中 $T_n(\Lambda)$ 对 Λ 的每个对角元取切比雪夫多项式。可见，收敛速度取决于 H 的模长最大的本征值。厄米矩阵的本征值 λ 有

$$|\lambda| \leq \|H\|_\infty = \max_{i',j'} \sum_{i,j} H_{i,j}^{i',j'} \quad (21)$$

特别地，当 $V = 0$ 时， $|\lambda| \leq \frac{4}{mh^2}$ 。要保证 $|\lambda| \leq 1$ ，只要预先做替换

$$H \rightarrow \frac{H}{\|H\|_\infty}, \quad \tau \rightarrow \|H\|_\infty \tau \quad (22)$$

即可。

2 编程要点

$\psi_{i,j}$ 包含整个平面网格上的波函数值，假设网格的规模为 1024×1024 ，数据为 double 型复数值，则存储一个就要占用 16MB 的内存，而 H 的大小更是达到 16TB！因此， H 不能显式地存储在内存当中，必须以函数指针的形态出现，即

$$H^n \psi = H(H(\dots H(\psi))) \quad (23)$$

其中，设某种空间差分格式 C 将 ψ 映射到一步迭代以后，则相应的 $H = C - I$ ，即 $H(\psi) = C(\psi) - \psi$ 。切比雪夫多项式的递推关系有

$$T_{n+1}(H)\psi = 2H[T_n(x)\psi] - T_{n-1}(H)\psi \quad (24)$$

这意味着我们要开 3 个缓存，来存储相邻三阶的结果。每次迭代后，下一阶的结果将顶替上一阶在缓存中的位置。但是，如此巨大的内存，无论是移动、复制还是擦除，都会造成严重的性能浪费。这启发我们设立一个简单的内存池：在所有计算开始时预先分配大块内存，代表 ψ 的对象构造时，须向内存池申请空间，内存池返回指针，并将此处标记为占用；当 ψ 复制时，只传递指针而无需通知内存池；当 ψ 参与运算时，传递函数指针通知内存池进行相应运算；当 ψ 析构时，内存池将空间标记为空闲即可。这样一来，内存池持有大量内存，但从不移动、复制和擦除，而 ψ 实际占用的空间很小，可以随意进行这些操作。内存池还有助于排查内存泄漏。

由 (19) 式中的 $(-i)^n$ 知， ψ 可能的相位有 4 种。若在分别存储 ψ 的实部和虚部的同时，另设一变量代表其相位，直到做加减法时，再按照相位分类讨论处理，可以免于对大量数据执行浮点数乘以 -1 的操作。但这样一来，计算实部和虚部的演化不得成为串行的两步。为此，可以将实

部和虚部存储在同一个矩阵里，例如，在初始化时，奇数位存虚部，偶数位存实部，之后由相位负责解释谁代表虚部，谁代表实部，谁的加法必须按减法执行，等等。

另外，单次迭代很适合并行运算，可使用 CUDA 显卡编程加速运算：在.cu 文件中将内核需要执行的函数封装成 `extern "C"` 接口，并在.cuh 文件中声明以备调用。（例外：**cudaMalloc 函数不可封装为接口，必须在 cpp 文件中直接调用，否则后面的 cudaMemcpy 都会失败!**）

综上，我们需要三个层次的对象来管理数据，其可能的定义和部分方法简述如下（与所附代码中的具体实现略有不同）：

```
class GpuMat{
    double* field; //内存池返回的指针，指向被cudaMalloc分配过的显存
    int loc; //在内存池中的相对位置，以便申请删除
};
class Psi{
    Pool* pool;
    GpuMat* mat;
    char phase; //相位有 1 i -1 -i 四种，加减法也应有四种实现（对应四种相位差）
    Psi H(){...} //基本运算在这一级实现
    Psi operator-(Psi&){...}
    void die(){...}
};
class Solver{
    Psi* psi;
    double* psi_cpu; //数据输入输出的缓冲区
};
```

内存池类的定义如下：

```
class Pool{
    double* head; //大片内存的首地址（从不动）
    double* ptrs; //申请时返回其中的一个指针
    bool* occupied; //标记上面的指针中那些有数据填充
};
```

计算切比雪夫多项式的缓存则由 Chebyshev 对象自己保管：

```
class Cheby{
    Psi x0, x1, x2;
    void die(){...}
};
```

注意任何直接或间接地持有 `GpuMat` 的函数都要实现一个 `die()` 方法——它们自己的析构函数只会销毁指针，以防数据被意外删除；而当真正希望清除数据时，要手动联系内存池释放空间。

曾发生过迭代仍在进行但结果不变化的异常，经查，`cudaMalloc` 分配过的指针莫名其妙变成 `NULL`，但其错误码又是 `Success`！推测可能的原因是显存占满，但显存泄漏不易排查，可使用条件编译，在 `CPU` 端执行类似的串行代码排查内存泄漏，再类比到 `GPU` 的有关操作上。

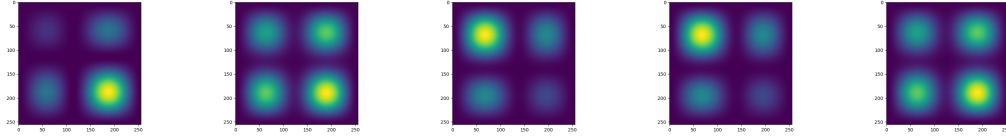
3 性能测试

首先将函数指针 $H(\cdot)$ 替换成恒等变换，初始化 $\psi \equiv 1$ ，即可计算 $\cos(n), \sin(n), (n \in \mathbb{N}_+)$ 的值（封装在 `test()` 中），并与标准值比较，验证 `CUDA` 的读写正常，`Chebyshev` 时间积分的流程正确，内存池、相位标记与加减法运行正常。

在 256×256 网格上，记 $f(x, t) = e^{-i\eta\pi^2 t} \sin 2\pi x - 3e^{-i4\eta\pi^2 t} \sin 2\pi x$ ，计算叠加态

$$\psi(x, y, 0) = f(x, 0)f(y, 0), \quad (x, y) \in [0, 1] \times [0, 1] \quad (25)$$

的演化，其解析解为 $\psi(x, y, t) = f(x, t)f(y, t)$ ，周期为 $\frac{2}{3\eta\pi}$ ，其中 $\eta = 1/2m$ ，若预先设置扩散系数为 $D = 1/2mh^2$ （例如，0.1），则 $\eta = Dh^2$ 。如图所示：



采用 20 阶 `Chebyshev` 时间积分，每次迭代的步长为 10^6 周期（每 500 步输出一次）。结果在定性上与上图相同；区域内概率密度积分的变化如图所示：

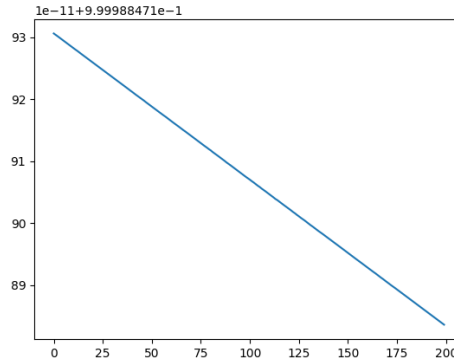


图 2: 横轴为迭代次数

可见，该算法确实是保酉的，总概率的变化只有 10^{-11} 量级。侧面观如图所示：

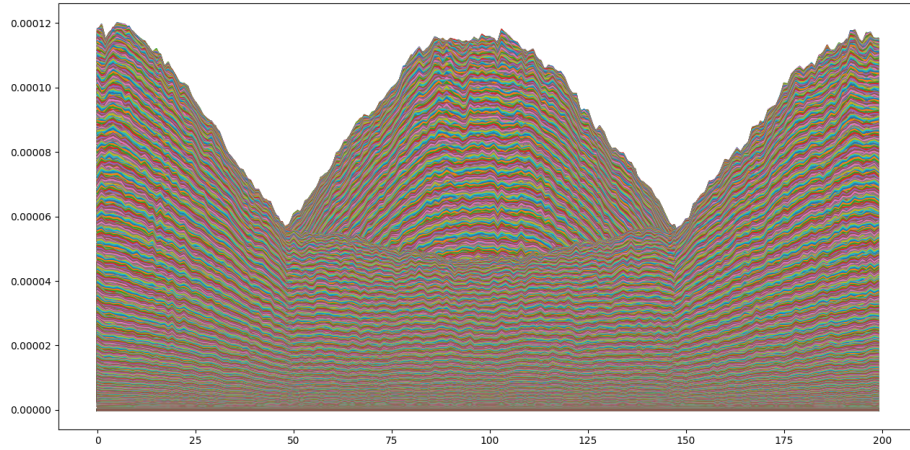


图 3: 横轴为迭代次数

可见,数值解不如解析解光滑,但其单调性较好,局部波动不如同等网格和时间步长的 Trotter-Suzuki 法 (二阶) 大。(高阶 Trotter-Suzuki 法的局部波动可能变得更大。)

以下以概率密度 $\rho(x, y)$ 在绝对误差最大处的相对误差来衡量算法的误差。在网格的中心区域和靠近边缘的区域各抽样两点, 分别计算数值解与解析解, 如图所示:

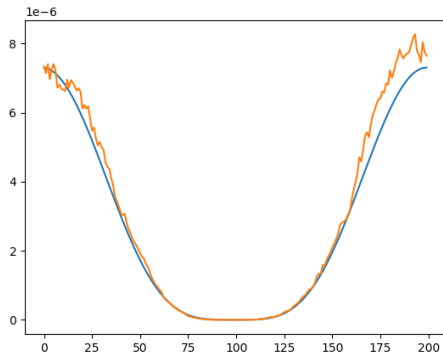


图 4: (140,140)

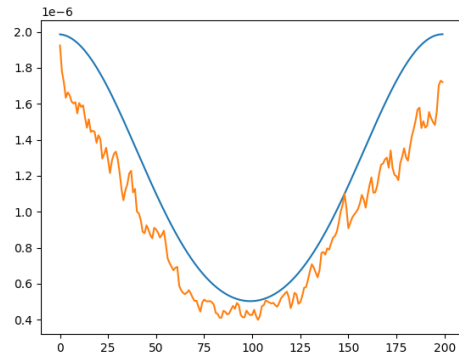


图 5: (240,240)

可见中心区域的计算效果较好。以求解区域中心点附近的 128×128 区域为中心区, 分别计算所有时刻的相对误差, 如图所示:

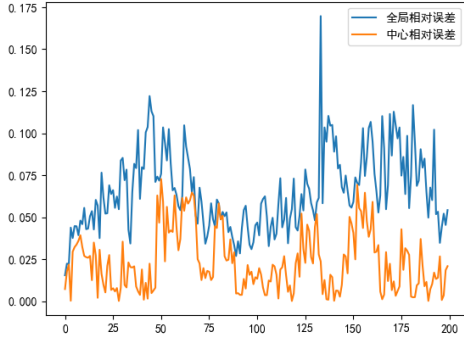


图 6: Chebyshev 法

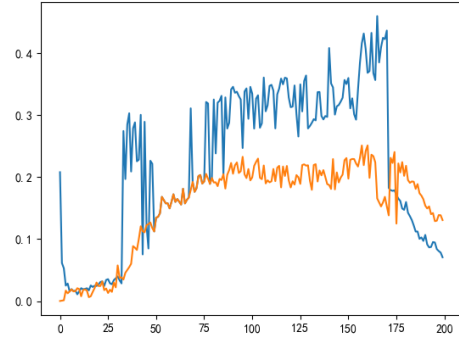


图 7: Trotter-Suzuki 法

可见，Chebyshev 法的误差比 Trotter-Suzuki 法小一个数量级。

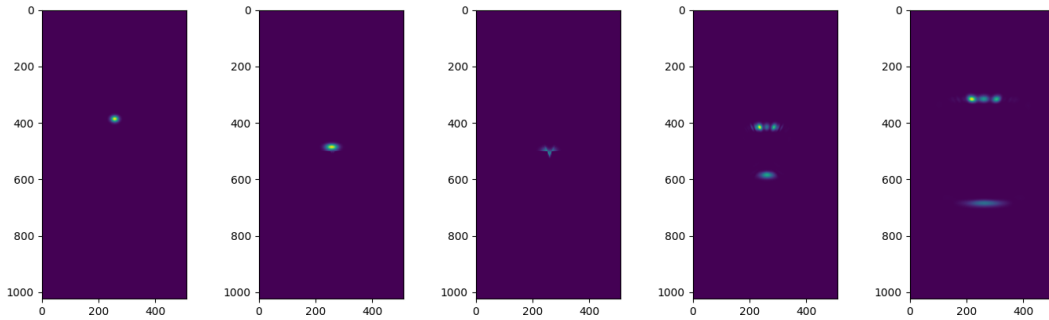
Chebyshev 时间积分法相对于 Trotter-Suzuki 法的优势在于，在每个时间步， $H^n\psi$ 项将一点处的信息传到 L^1 距离为 n 格远的地方，体现了薛定谔方程的抛物性，而不是只有最近邻两格发生相互作用，具有双曲性。但是在边界处，信息向远处传播可能受阻。若边界处的网格不划分得更密，近似效果就会比较差了。

运行速度的瓶颈主要在于 GPU 端到 CPU 端的数据传输，GPU 的占用反而很小。

4 结果

4.1 单缝衍射 I

设动量 $p = 512\pi$ （采样定理所容许的最大动量），波包初始宽度 $\sigma = 0.02$ 。由于采用将其所在区域的波函数直接置零来模拟不可穿透的墙壁，在粒子通过波导的几帧里，总概率迅速下降，所幸下降不多，只有 3.4%。结果如图所示：



可见，当粒子接近墙壁时，波包受斥力而变扁；有一定概率反射或透射，反射波包分为若干束；透射波和反射波都在一锥形区域内，将所有帧的概率密度叠加可见：

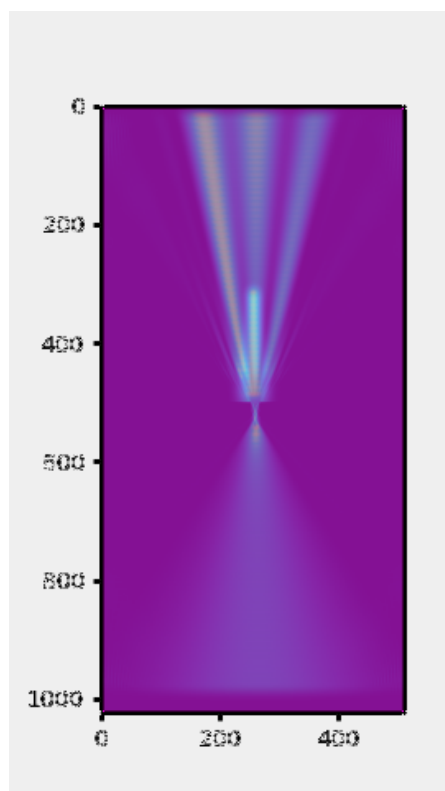


图 8: 长时间曝光效果

全过程详见 res1.mp4。

4.2 单缝衍射 2

设动量 $p = 256\pi$, 波包初始宽度 $\sigma = 0.1$, 结果详见 res2.mp4。

4.3 双缝干涉

结果详见 res3.mp4。